

شرایط تشکیل بلورهای پیروکسن زونینگ دار در دایک‌های آندزیتی نیمه قلیایی روستای حسن‌آباد بیزد-جنوب باختر تفت

سمیرا زندی‌فر^{۱*}، محمدرضا فروودی جهرمی^۱

^۱دانشکده زمین‌شناسی، پردیس علوم، دانشگاه تهران، تهران، ایران.

^۲گروه زمین‌شناسی، دانشگاه آزاد اسلامی، واحد علوم و تحقیقات، تهران، ایران

تاریخ پذیرش: ۱۳۸۷/۰۸/۱۵

در باختر و شمال باختر روستای حسن‌آباد بیزد کلینوپیروکسن درشت این سنگ‌ها منطقه‌بندی (زونینگ) "تقریباً" واضحی را نشان می‌دهند. ترکیب کلینوپیروکسن‌های دانه‌ریز زمینه در این سنگ‌ها مشابه حاشیه کلینوپیروکسن‌های زونینگ دار است. نتایج حاصل از تجزیه‌های نقطه‌ای کلینوپیروکسکوب الکترونی روبیشی (SEM) از مرکز به سمت حاشیه نشان داد که کلینوپیروکسن‌ها دارای ترکیب از دیپسید کروم‌دار، سالیت-فروساالت و تیتان‌اوژیت هستند. منطقه‌بندی این بلورها در هنگام رشد کانی به وجود آمده است. اعتقاد بر این است که در منطقه‌بندی این کلینوپیروکسن‌ها تاریخچه پیچیده‌ای از شروع و خاتمه تفرقی، آمیختن به وسیله آمیختگی ماگمایی، وجود و نبود تنفسه‌های فشار بالا ثبت شده است. منشأ بلورهای سالیت و فروسالت در دایک‌های آندزیتی حسن‌آباد احتمالاً "از سنگ‌های دیواره گوشته بالایی در نظر گرفته" می‌شود.

چکیده

کلیدواژه‌ها: کلینوپیروکسن، دایک‌های آندزیتی، منطقه‌بندی، حسن‌آباد بیزد.

*نویسنده مسئول: سمیرا زندی‌فر

E-mail: tec1319_sh@yahoo.com

۱- مقدمه

(Jankovic, 1984). این منطقه به شدت تکتونیزه بوده و کلیه واحدهای سنگی آن جابه‌جا شده‌اند. این فعالیت به علت قرارگیری آن در یک زون گسلی بین گسل اصلی دهشیر-بافت و گسل توران پشت-شمس آباد که یکی از گسل‌های فرعی و منشعب از آن است، بیش از مناطق مجاور است. این پیکره گسلی متأثر از آخرین رخداد زمین‌ساختی آلپ بوده که پیامد آن فعالیت آتشفسانی گنبدهای آتشفسانی است (دهقان‌منشادی، ۱۳۷۹). قدیمی‌ترین سنگ‌هایی که در این منطقه رخ‌خونه دارند مربوط به کرتاسه (آهک سازند تفت) بوده و جوان‌ترین سنگ‌ها را آبرفت‌ها و همچنین تراویرت‌های عهد حاضر که هم‌اکنون نیز از چشممه‌های تراویرت ساز در حال نهشته شدن است تشکیل می‌دهند (شکل ۱-۱a).

توالی رسوبی مزوژوییک به وسیله کنگلومرا (کنگلومرای کرمان) و سنگ‌های آتشفسانی-رسوبی اثوسن پوشیده می‌شود (Zaravandi and Liaghat, 2005). نهشته‌های میوسن با رسوبات مارن و ماسه‌سنگ ریزدانه با رنگ عمومی ارغوانی آغاز می‌شود. پایان بخش رسوبات میوسن در ناحیه مورد بررسی، لایه‌های ماسه‌سنگ و کنگلومرا به رنگ خاکستری تیره است.

سنگ‌های آذرین گسترش وسیعی در منطقه مورد مطالعه دارند. سنگ‌های بیرونی شامل داسیت و آندزیت و سنگ‌های درونی دارای طیف ترکیبی شامل دیوریت، دیوریت کوارتزدار و گرانو‌دیوریت است.

اسکارن حسن‌آباد در اثر نفوذ توده دیوریتی مربوط به نوار ارومیه-دختر در آهک‌های کرتاسه ایجاد شده است (شکل ۲). این نوار ماگمایی-متالوژنیک موازی نوار چین‌خوردگی-برخوردی زاگرس است که در شمال خاوری این زون گسلی قرار دارد. پلوتونیک، آتشفسان و کانی‌زایی مرتبط با آن در نتیجه فروزانش در نوار برخوردی زاگرس ایجاد شده است (Berberian and King, 1981) (شکل ۱-۱b). نتیجه دگرگونی مجاورتی این آهک‌ها پیدایش چهار زون دگرگونی است (زندي‌فر، ۱۳۸۶)، که به ترتیب از محل همبrij با توده نفوذی به سمت سنگ‌های میزبان عبارتند از: ۱- زون ولاستونیت-گارنت (شامل مجموعه کانی‌های ولاستونیت، گارنت، دیپسید، کلینتونیت، کلسیت)، ۲- زون ولاستونیت- دیپسید (شامل مجموعه

مطالعه ترکیب شیمیایی زونینگ کانی‌های کلینوپیروکسن، به منظور تعیین و بررسی چگونگی تشکیل آنها همزمان با ظهور میکروسکوب الکترونی، یعنی از اوایل دهه ۷۰ میلادی آغاز شد. پیش از این زمان، بررسی ساختمان منطقه‌ای تنها از طریق مطالعه رنگ کانی‌ها امکان‌پذیر بود (Atherton and Edmunds, 1966; Chinner, 1962). در سنگ‌های آندزیت نیمه قلیایی اطراف روستای حسن‌آباد بیزد، پیروکسن‌ها اغلب شامل کلینوپیروکسن‌هایی با منشأ گوناگون هستند. کانی‌های یادشده به صورت بلورهای بیگانه (Xenocrysts)، درشت‌بلورهای (Megacrysts) مجزا یا به صورت درشت‌بلورهای زونه دیده می‌شوند که اطلاعاتی در رابطه با تحول ماگمایی میزبان را فراهم می‌آورند. در میان این کانی‌ها، بویژه پیروکسن‌های درشت‌بلور سبز و زونینگ دار مشخص تر هستند که غنی از آهن بوده و نمی‌توانند با ماگمایی میزبان غنی از میزیم اولیه در هیچ فشاری در تعادل باشند. این پیروکسن‌ها به طور گستردۀ از منشأ‌های مختلف در دنیا گزارش شده‌اند (Barton et al., 1982; Lloyd, 1981; Wass, 1979;) (Brooks and Printzlau, 1978). در دیوریت‌ها و آندزیت‌های اطراف روستای حسن‌آباد پیروکسن‌های به شدت زونه اغلب با هسته سبز یا رنگ وجود دارند (کلینوپیروکسن با هسته سبز مربوط به اگرواسکارن‌های درون دیوریت‌ها است که تعدادشان بسیار کم است)، زونینگ بلورهای پیروکسن در سنگ‌های آذرین در اثر فرایند‌هایی مانند هضم بیگانه‌سنگ (زینولیت) (Gamble and Taylor, 1980)، تغیرات فوگاسیته اکسیژن (Dessai et al., 1990; Dobosi, 1986; Downes, 1989) (Brooks and Rucklidge, 1973; Segalstad, 1979) (Brooks and Rucklidge, 1973; Segalstad, 1979) (Tracy and Robinson, 1985) (Larsen, 1981) (Tracy and Robinson, 1985) (Duda and Schminke, 1985) (Kouehi et al., 1983; Liotard et al., 1988) (Tracy and Robinson, 1985) (Duda and Schminke, 1985) (Kouehi et al., 1983; Liotard et al., 1988) و آمیختگی ماگمایی (Gamble and Taylor, 1980) (Tracy and Robinson, 1985) (Duda and Schminke, 1985) (Kouehi et al., 1983; Liotard et al., 1988) (Tracy and Robinson, 1985) (Duda and Schminke, 1985) (Kouehi et al., 1983; Liotard et al., 1988) در این نوشان، زونینگ پیروکسن در دایک‌های آندزیتی حسن‌آباد بررسی می‌شود.

۲- موقعیت زمین‌شناسی منطقه حسن‌آباد

منطقه مورد مطالعه در فاصله ۸۰ کیلومتری جنوب باختر شهرستان تفت و بر روی نوار ماگماتیسم سوزوژیک ایران مرکزی مشهور به ارومیه-دختر واقع شده است

منیزیم آنها بین ۰/۴۰ تا ۰/۴۸٪ تغییر می‌کند. بنابراین سالیت و فروسالیت آهن‌دارترین پیروکسنهای مورد مطالعه هستند. نسبت $\text{Fe}^{3+}/\text{Fe}_{\text{total}}$ کمتر از ۰/۲۱٪ می‌باشد. مقدار Al_2O_3 و TiO_2 "معمولًا" کم است (به ترتیب ۰/۳۹-۱/۴۰٪ و ۰/۱۶-۰/۳۱٪) مقدار Na_2O به طور متوسط حدود ۱ درصد وزنی می‌باشد.

۳-۲. تیتان اوژیت

محدوده مقدار منیزیم از ۰/۷۰-۰/۸۵٪ و مقدار TiO_2 و Al_2O_3 به ترتیب ۱/۳۲-۱/۴۳٪ و ۶/۹۰-۱۱/۵۹٪ است. مقدار Ti و Al با یکدیگر تغییر می‌کنند (شکل ۷) و هر دو با غنی‌شدگی آهن، افزایش می‌یابند. منحنی پرشیب تیتان اوژیت (شکل ۸) از ویژگی‌های تفیریق کلینوپیروکسن در سنگ‌های مافیک آلکالی است (Tracy and Robinson, 1977).

۴- بحث

این ترکیبات زوینینگ نوسانی را نشان می‌دهند که نتیجه تبلور نامتعادل است. (Wass, 1973) پراکنده‌گی Al بین محلهای اکتاهدرال و تتراهدرال، ویژگی‌های Na و Ti دلایلی بر این مطلب هستند که پیروکسنهای بی‌رنگ در آندزیت‌های منطقه مورد مطالعه به طور مشخص در فشاری بیشتر از حاشیه‌های تیتان اوژیت‌دار (شکل ۷) و هر دو با غنی‌شدگی آهن، افزایش می‌یابند. منحنی پرشیب تیتان اوژیت‌دار (Tracy and Robinson, 1977) از دلایل زوینینگ در پیروکسنهای توسط (Atherton & Edmunds, 1966); Brooks & Rucklidge (1973) گزارش شده است. حالت خوردگی در فنوکریست‌های پیروکسن منطقه که ساخت زونه بلور راقطع می‌کند (شکل ۴-۴d)، می‌تواند دلیلی بر آمیختگی و عدم تعادل شیمیایی پیروکسنهای یاد شده باشد. این بلورها نمی‌توانند با مانگماهای میزان مافیک‌شان در تعادل بوده و این چنین استنباط می‌شود که آنها از یک مذاب در معرض تفریق جزو به جزء شده‌ای که بعداً با مانگماهای مافیک مخلوط شده است، متبلور شده‌اند. این آمیختگی می‌تواند در گوشته یا در مخزن پوسته‌ای اتفاق بیافتد (Atherton & Edmunds, 1966; Brooks & Rucklidge, 1973) توسط Duda and Schminke (1985) برای بازالت‌های ایفل، مانگماهای مافیک بالا آمده در نزدیک مرز پوسته و گوشته تفریق پیدا می‌کند و مذاب مشتق شده دارای درشت بلورهای پیروکسن سبز رنگ است که با تیپ‌های جدیدی از مانگماهای اولیه مخلوط شده است. یک مدل مشابه را می‌توان برای منشأ کلینوپیروکسن‌های دایک‌های آندزیتی حسن‌آباد به کار برد، به طوری که مذاب‌های آناتکیک در سنگ‌های دیواره محفظه‌های مانگماهای پوسته زرف تشکیل و نمی‌توانند خارج شوند. ژرفای تبلور این بلورها مشخص نیست اما ترکیب تیتان اوژیت‌های اطراف، بیانگر این مطلب است که آنها در ژرفاهای زیاد پوسته متبلور می‌شوند ("احتمالاً" نه در ژرفاهای بیشتر از مرز پوسته و گوشته) (Onuma et al., 1981). تأثیر تفریق چند فشاری و آمیختگی مانگماهای در تشکیل زوینینگ این پیروکسنهای دو عاملی هستند که جدا کردن آنها از هم‌دیگر مشکل است، به طوری که حفظ تهنشست‌های فشار بالا می‌تواند یک اثر ترکیبی مشابه آمیختگی با یک مانگماهای اولیه داشته باشد.

۵- نتیجه‌گیری

تجزیه نقطه‌ای SEM کلینوپیروکسن‌های منطقه نشان می‌دهد که کلینوپیروکسن‌ها از مرکز به سمت حاشیه ناهمگن و دارای زون‌بندی نوسانی هستند و مرز بین زون‌ها ناگهانی است که این موضوع نشان‌دهنده تغییرات ناگهانی در ترکیب شیمیایی مواد تشکیل دهنده است. بنابراین زوینینگ موجود در هنگام رشد کانی به وجود آمده است. کلینوپیروکسن‌های زوینینگدار دایک‌های آندزیتی حسن‌آباد بیانگر مدل تکاملی پیچیده‌ای است که آمیختگی مانگماهای در ژرف‌نقش مهمی را ایفا می‌کند.

کانی‌های ولستونیت+دیوپسید+گارنت+وزوویانیت+کلیپتونیت+مارگاریت؟؛ ۳- زون وزوویانیت-دیوپسید (شامل مجموعه کانی‌های وزوویانیت+دیوپسید+گارنت+کلیپتونیت+ایپدوت+ترموولیت)؛ ۴- زون کلیپتونیت-ایپدوت (شامل مجموعه کانی‌های وزوویانیت+ایپدوت+کلیپتونیت+گارنت).

در قسمت باختر و شمال باختر روستای حسن‌آباد دایک‌های بزرگی با ترکیب آندزیت در دیبوریت‌ها، کوارتز‌دیبوریت‌ها و گرانو‌دیبوریت‌ها دیده می‌شود. این دایک‌ها "غالباً" در ارتفاع NE-SW بوده و به رنگ خاکستری تیره تا روشن و گاهی به رنگ خاکستری مایل به قهوه‌ای دیده می‌شوند. این دایک‌ها به طول و عرض تقریبی بیست و پنج در سه متر، توده نفوذی منطقه راقطع نموده است (شکل ۳). پلازیوکلاز، آمفیبول، پیروکسن به میزان کمتر آپاتیت، زیرکن و اسفن اجزای این سنگ‌ها را تشکیل می‌دهند.

۳- شیمی پیروکسن

درشت بلورهای کلینوپیروکسن در دایک‌های آندزیتی حسن‌آباد "معمولًا" بلورهای بی‌شکل (انهدرال)، قهوه‌ای کمرنگ متمایل به سبز بزرگ‌تر از ۳۰۰ میکرومتر هستند. رنگ آنها به سمت حاشیه تیره‌تر می‌شود و زوینینگ هم مرکز، منقطع یا نوسانی را نشان می‌دهد (شکل ۴).

تجزیه نقطه‌ای به وسیله دستگاه میکروسکوپ الکترونی روبشی (SEM) Vega IR VG2080573 در مرکز متالوژی رازی یک نمونه از کلینوپیروکسن‌های زونه در دایک‌های آندزیتی اطراف حسن‌آباد انجام شده است (شکل ۴ b و جدول ۱). ترکیب کلی کلینوپیروکسن‌های مورده مطالعه در نمودار J-Q (Morimoto et al., 1988) بدون در نظر گرفتن نوع پیروکسن مشخص شده و همگی در محدوده پیروکسن‌های کلیپسیم-منیزیم-آهن‌دار قرار می‌گیرند (شکل ۵) و به علت کمبود سدیم همگی در نزدیک محور Y مجتمع می‌شوند. از نمودار سه‌تایی (Huckenholz et al., 1974) Di-Hd+(Ac)-Ts کلینوپیروکسن‌ها استفاده شده است (شکل ۶). این شکل محدوده ترکیبی درشت بلور پیروکسن را در هفت نقطه نشان می‌دهد. این تحقیقات نشان می‌دهد که ترکیب پیروکسن‌های زمینه (شکل ۴-۴d) در سنگ‌های نیمه قلیایی شبیه حاشیه درشت بلورهای تحول یافته است. مطابق شکل ۶ بلور پیروکسن تجزیه شده در محدوده ترکیبی پیروکسن‌های غنی از کلیپسیم و پیروکسن‌های کلیپسیم-سدیم‌دار دیده می‌شود. پیروکسن تجزیه شده با طول ۴ mm در آندزیت حسن‌آباد مشخص کننده هسته بی‌رنگ بی‌شکل و حاشیه قهوه‌ای کمرنگ است. با استفاده از مشاهدات میکروسکوپی و تجزیه‌های پروپ، سه گروه پیروکسن را می‌توان شناسایی کرد. این بلور زونه از مرکز به سمت حاشیه ترکیب نوسانی به صورت: ۱- دیوپسید کروم‌دار (Chrome-diopsides) (بی‌رنگ)، ۲- سالیت-فروسالیت (Salites-ferrosalites) (سبز) چمنی، ۳- تیتان اوژیت (Titanaugite) (بی‌رنگ تا قهوه‌ای روشن) را نشان می‌دهد.

۳-۱. دیوپسید کروم‌دار

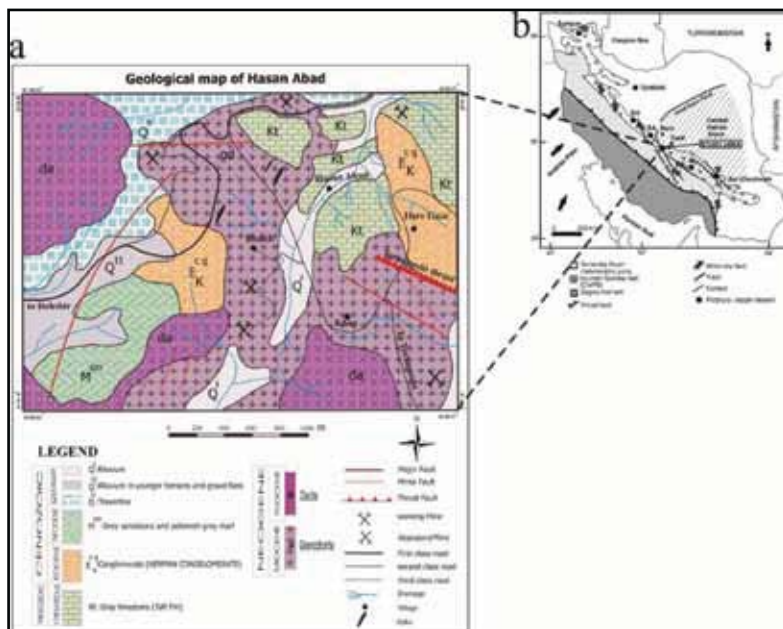
درشت بلورهای بی‌شکل و بی‌رنگ هستند. کلینوپیروکسن‌های موجود در دیبوریت‌ها و همچنین اسکارن‌های این منطقه از همین نوع هستند. ترکیب دیوپسیدهای کروم‌دار بین یک مقدار نسبتاً "محدود" تغییر می‌کند. آنها منیزیم‌دارترین پیروکسن‌های مورد مطالعه هستند. مقدار منیزیم آنها بین ۰/۹۱ تا ۰/۹۳٪ تغییر می‌کند. مقدار TiO_2 کم است (کمتر از ۰/۵ درصد وزنی) و مقدار Cr_2O_3 از ۰/۸۴ تا ۱/۳۵٪ درصد وزنی است.

۳-۲. سالیت-فروسالیت

درشت بلورهای سبز کم رنگ تا چمنی می‌باشند که گروه مشخصی را در تمام نمودارها می‌سازند (شکل ۶، ۷، ۸) که منشأ بیگانه بلور آنها را تأیید می‌کنند. مقدار

در ایجاد زوینینگ پیروکسن‌های منطقه مورد مطالعه کمک می‌کنند. منشأ بلورهای سالیت و فروساالت آندزیت‌های حسن‌آباد تقریباً "از سنگ‌های دیواره گوشته بالای غیر عادی در نظر گرفته‌می‌شوند.

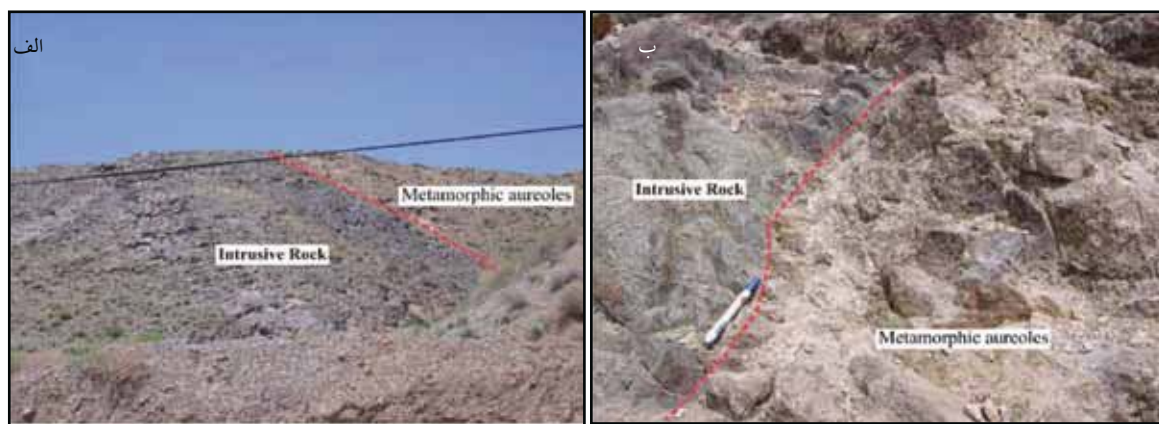
ماگمای بازالت قلیابی در طول بالا آمدن با یک مذاب تفریق شده‌ای که از آهن غنی است و دارای بلورهای تیتان اوزیت است، مخلوط می‌شود. در کل دوره‌های پایان و شروع تفریق ماگما (stop-start magmatic differentiation) در سطوح مختلف پوسته، آمیختگی ماگمایی و اثرات جنبشی (عدم تعادل)، همگی به طور قابل توجهی



شکل ۱- a) نقشه زمین‌شناسی منطقه مورد مطالعه در جنوب باختری شهرستان بیزد. b) نقشه راهنمای موقعیت منطقه مورد مطالعه در زون ارومیه- دختر و زون‌های زمین‌ساختی اصلی ایران. M: نهشته‌های مس پورفیری میدوک. SA: بخش جنوبی نهشته‌های پورفیری اردستان. SH: نهشته‌های مس پورفیری شریف‌آباد (قسمت b بر گرفته از: .(Zaravandi and Liaghat, 2005

جدول ۴- نتایج تجزیه الکترون میکروپرتوپ از بلور پیروکسن مربوط به شکل ۴- b (نوع پیروکسن هر نقطه تجزیه شده بر اساس شماره‌های شکل ۴- b در بالای ستون‌ها آورده شده است).

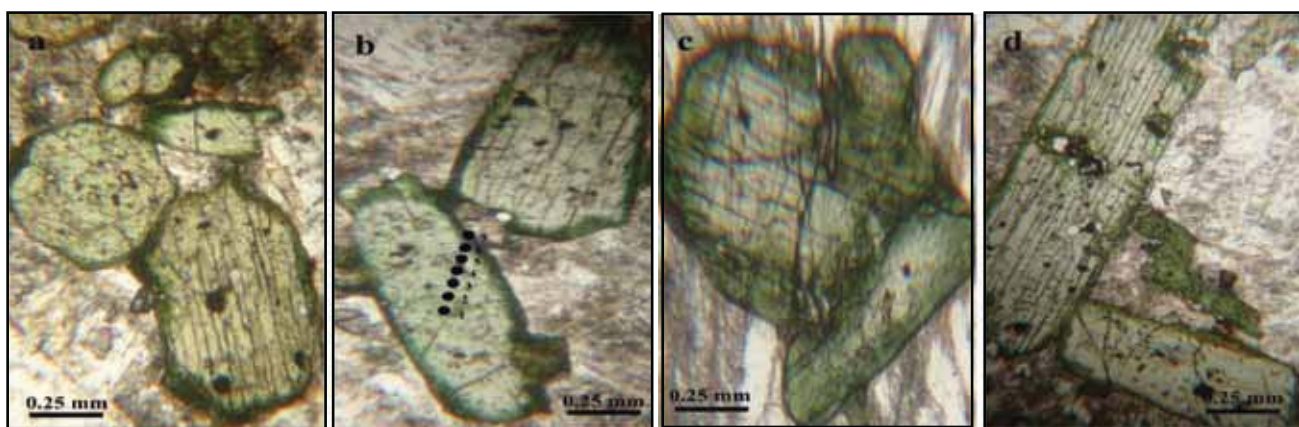
Sample.n	Sz1.Di	Sz2.Sa	Sz3.Au	Sz4.Au	Sz5.Di	Sz6.Sa	Sz7.Au
SiO ₂	51.49	49.40	42.05	47.14	53.20	50.40	48.94
TiO ₂	0.38	0.16	4.13	2.84	-	0.31	1.32
Al ₂ O ₃	5.60	1.40	11.59	6.90	3.40	2.39	8.21
Cr ₂ O ₃	0.84	-	-	-	1.35	-	0.55
FeO	2.60	18.89	7.57	6.50	2.50	14.66	4.49
MnO	-	2.10	0.18	0.50	0.15	0.50	0.07
MgO	15.70	6.12	10.35	12.60	17.60	7.90	14.55
CaO	20.98	19.26	22.60	23.12	21.20	21.99	21.35
Na ₂ O	1.30	1.10	0.92	0.62	0.58	1.08	0.82
Total	98.89	97.43	99.39	100.22	99.98	99.23	100.3
Si	1.85	1.93	1.58	1.78	1.92	1.94	1.78
Ti	0.02	-	0.12	0.08	-	0.01	0.04
Al	0.25	0.07	0.51	0.31	0.15	0.11	0.35
Cr	0.03	-	-	-	0.04	-	0.02
Fe ³⁺	0.04	0.11	0.13	0.07	0.02	0.04	0.06
Fe ²⁺	0.04	0.54	0.11	0.16	0.05	0.43	0.08
Mn	-	0.07	0.01	0.03	-	0.02	-
Mg	0.85	0.30	0.58	0.69	0.95	0.45	0.79
Ca	0.75	0.79	0.91	0.91	0.84	0.91	0.83
Na	0.10	0.09	0.04	0.04	0.07	0.08	0.06
Mg-num	0.91	0.40	0.70	0.76	0.93	0.48	0.85



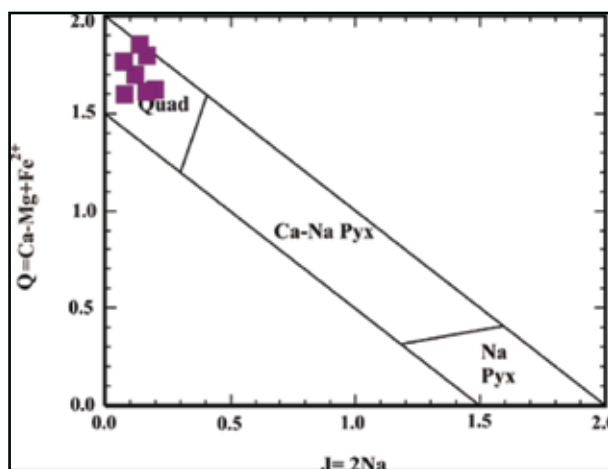
شکل ۲- تصاویری از همیری توده نفوذی در منطقه مورد مطالعه. الف) نمایی دور از همیری ب) همیری از فاصله نزدیک‌تر (دید به باخت).



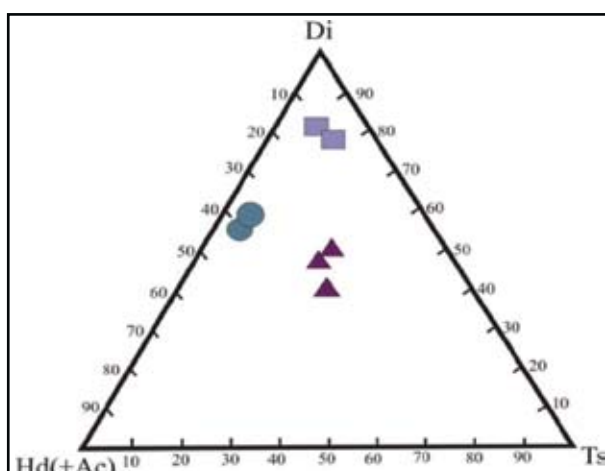
شکل ۳- نمایی از یک دایک آندزیتی در سنگ‌های دیوریتی باخت روستای حسن‌آباد (دید به باخت).



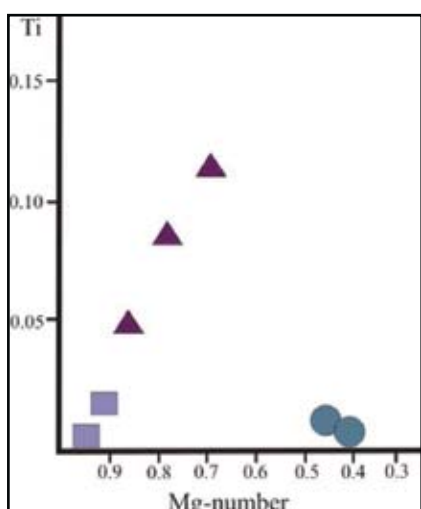
شکل ۴ a- c) تصاویر میکروسکوپ نوری تعدادی از درشت‌بلورهای پیروکسن زویننگدار در دایک‌های آندزیتی باخت و شمال باخت روستای حسن‌آباد. b) بلور مطالعه شده در این نوشتا، دواز سیاه نشان‌دهنده مکان تجزیه‌ها است. d) پیروکسن‌های زمینه که از لحاظ ترکیبی مشابه حاشیه‌های درشت‌بلورهای پیروکسن زویننگدار است در اینجا آشکارا قبل دیدن هستند.



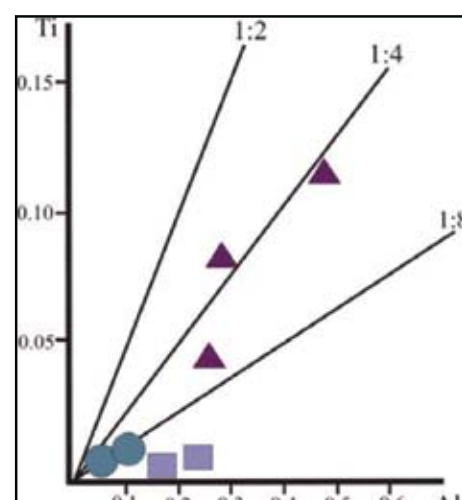
شکل ۵- ترکیب کلی کلینوپیروکسن‌های دایک‌های منطقه مورد مطالعه در نمودار J - Q (Morimoto et al., 1988)، بدون تفکیک نوع آنها بر اساس نتایج تجزیه الکترون میکروپروروب از بلور پیروکسن مربوط به شکل ۴-*b*.



شکل ۶- نمایش ترکیبات کلینوپیروکسن بلور مورد نظر در دایک آندزیتی باختر روسنای حسن‌آباد توسط نمودار سه‌تایی Di - $Hd(+Ac)$ - Ts (Huckenholz et al., 1974) است (CaTs+FATs+TiTS molecule). مریع: دیپسید کروم‌دار. دایره: سالیت-فروسالیت. مثلث: تیتان‌اوزیت.



شکل ۸- نمایش Ti در برابر مقدار منیزیم کلینوپیروکسن بلور مورد نظر در دایک آندزیتی باختر روسنای حسن‌آباد. نمادها مشابه شکل ۶ است.



شکل ۷- تغییرات Ti و Al کلینوپیروکسن بلور مورد نظر در دایک آندزیتی باختر روسنای حسن‌آباد. نمادها مشابه شکل ۶ است.

کتابخانه

دهقان منشادی، ب.، ۱۳۷۹- مطالعه پترولوجی و ژئوشیمی ماگماتیسم و دگرگونی منطقه دره زرشک - توران پشت، جنوب غربی یزد. رساله کارشناسی ارشد دانشگاه تهران.

زنی‌فر، س.، ۱۳۸۷- بررسی کانی‌شناسی دگرگونی مجاورتی توده‌نفوذی روستای حسن‌آباد یزد (جنوب‌غرب تفت). رساله کارشناسی ارشد دانشگاه تهران.

References

- Atherton, M. P. & Edmunds, W. M., 1966- A electron microprobe study of some zoned garnets from metamorphic rocks, *Earth Planet. Sci. Lett.*, 185-193.
- Barton, M., Varekamp, J. C. & Bergen, V. M. J., 1982- Complex zoning of clinopyroxenes in the lavas of Vulcini, Latium, Italy: evidence for magma mixing, *J. Volcanol. Geotherm. Res.*, 14: 361-388
- Berberian, M. & King, G. C. P., 1981- Towards a paleogeography and tectonic evolution of Iran, *Canadian Journal of Earth Sciences*, 18: 210-265.
- Brooks, C. K. & Rucklidge, J. C., 1973- A tertiary lamprophyre dyke with high pressure xenoliths and megacrysts from Wiedemanns Fjord, East Greenland, *Contrib. Mineral. Petrol.*, 42: 197-212
- Brooks, C. K. & Printzlau, I., 1978- Magma mixing in mafic alkaline volcanic rocks: the evidence from relict phenocryst phases and other inclusions, *J. Volcanol. Geotherm. Res.*, 4: 315-331
- Chinner, G. A., 1962- Almandine in thermal aureoles, *J. Petrol.* 3: 316-340.
- Dessai, A. G., Rock, N. M. S., Griffin, B. J. & Gupta, D., 1990- Mineralogy and petrology of some xenolith-bearing alkaline dykes associated with Deccan magmatism, south of Bombay, India, *Eur. J. Mineral.*, 2: 667-685
- Dobosi, G., 1986- Chemistry of clinopyroxenes from the Lower Cretaceous alkaline volcanic rocks of the Mecsek Mountains, south Hungary, *N. Jb. Mineral. Abh.*, 156: 281-301
- Downes, H., 1989- Magma mixing in undersaturated alkaline volcanics, Cantal, Massif Central, France, *Mineral. Mag.*, 53: 43-53
- Duda, A. & Schminke, H. U., 1985- Polybaric differentiation of alkali basaltic magmas: evidence from green-core clinopyroxenes (Eifel, FRG), *Contrib. Mineral. Petrol.*, 91: 340-353
- Gamble, R. P. & Taylor, L. A., 1980- Crystal/liquid partitioning in augites: effects of cooling rate, *Earth Planet Sci. Lett.*, 47: 21-33
- Huckenholz, H. G., Lindhuber, W. & Springer, J., 1974- The join Ca- SiO₃ - AlzO₃- Fe2O₃ of the CaO - A12O₃ - F%O₃ - SiO₂ quaternary system and its bearing on the formation of granditic garnets and fassaitic pyroxenes, *N. Jb. Mineral. Abh.*, 121: 60-207
- Jankovic, S., 1984- Metallogeny of the Alpine granitoids in the Tethyan-Eurasian metallogenic belt, in Proceedings of the 27th International Geological Congress, Moscow, August 4-14, 12: Utrecht, Netherlands, VNU Science Press, 247-273.
- Kouehi, A., Sugawara, Y., Kashima, K. & Sunagawa, I., 1983- Laboratory growth of sector zoned clinopyroxenes in the system CaMgSiO₆-CaTiAl₂O₆, *Contrib. Mineral. Petrol.*, 83: 177-184
- Larsen, L. M., 1981- Sector zoned aegirine from the Ilmaussaq alkaline intrusion, south Greenland *Contrib. Mineral. Petrol.*, 76: 285-291
- Liotard, J. M., Briot, D. & Brivin, P., 1988- Petrological and geochemical relationships between pyroxene megacrysts and associated alkali basalts from the Massif Centrale (France), *Contrib. Mineral. Petrol.*, 98: 81-90
- Lloyd, F. E., 1981- Upper-mantle metasomatism beneath a continental rift: clinopyroxenes in alkali mafic lavas and nodules from South West Uganda, *Mineral. Mag.*, 44: 315-323
- Morimoto, N., Fabries, J., Ferguson, A. K., Ginzburg, I. V., Ross, M., Seifert, F. A., Zussman, J., Akoi, K. & Gottardi, G., 1988- Nomenclature of pyroxenes, *Mineral. Mag.*, 65: 1-28.
- Onuma, K., Akasaka, M. & Yagi, K., 1981- The bearing of the system CaMgSi₂O₆-CaAl₂SiO₆-CaFeAlSiO₆ on fassaitic pyroxene, *Lithos*, 14: 173-182
- Segalstad, T. V., 1979- Petrology of the Skien basaltic rocks, southwestern Oslo Region, Norway, *Lithos*, 12: 221-239
- Tracy, R. J. & Robinson, N. P., 1977- Zoned titanium augite in alkali olivine basalt from Tahiti and the nature of titanium substitution in augite, *Amer. Mineral.*, 62: 634-645
- Tyler, R. C. & King, B. C., 1967- The pyroxenes of the alkaline igneous complexes of eastern Uganda, *Mineral. Mag.*, 36: 5-21
- Wass, S. Y., 1973- The origin and petrogenetic significance of hourglass zoning in titaniferous clinopyroxenes, *Mineral. Mag.*, 39: 133-144
- Wass, S. Y., 1979- Multiple origins of clinopyroxenes in alkali basaltic rocks, *Lithos* 12: 115-132
- Zaravandi, A. & Liaghat, S., 2005- Geology of the Darreh-Zereshk and Ali-Abad Porphyry Copper Deposits, Central Iran, *International Geology Review*, 47: 620-646